

I-184 デュアルタイプ吊橋の力学的性状について

大阪大学 正員 小松庭夫
大阪大学 正員 西村宣男
阪大院 学生員 長井正嗣

1. まえがき

吊橋の外力に対する抵抗力に死荷重によるケーブルの初期張力の寄与と端合せ大きさいことは周知のことなりである。Fig.1 に示すように Main cable と新たに設けた Sub cable の間のハンガーにプレストレスを導入することによつて、死荷重を軽減する方法が考えられる。更に斜ハンガーを採用することによつて、ハンガーノ truss-action による cable の相互拘束による剛性増加が期待できる。
とくに局所的変形に対して斜ハンガー効果が著しいことから、荷重を平均化するので、補剛桁の経済設計が達成されるため、従来の補剛桁位置には車両交通のための床版と床組のみ配置すればよい。
この種の工法は比較的短径間の吊橋に应用された例がある。¹⁾

長径間吊橋にこの方法を適用する場合、次のような問題を解決しなければならない。

- (1) 補剛桁を用いたため、ねじりに対するケーブル系として抵抗しなければならない。通常、吊橋では補剛桁のねじり剛性が系全体に占める割合はかなり大きいので、プレストレスと斜ハンガーを用いた工法で、これを補うるか。
 - (2) 風荷重に対する、通常吊橋では補剛桁の鉛直軸回りの曲げ剛性が大きく系全体の抵抗に寄与しているが、デュアルタイプ吊橋では Sub cable がこの役割を果するか。
 - (3) どのようなプレストレス工法を採用すれば、所需的のプレストレスを導入しうるか。
- 以上の問題を解決するにともない、次のようなデュアルタイプ特有の諸量に因して、その最適値又は最良の方法について検討する必要がある。
- (1) Sub cable のライズ-スパン比 f_s/l
 - (2) Sub cable の断面積、プレストレス量
 - (3) 風压を小さくするような床版と床組
 - (4) 多径間吊橋の場合の Sub cable の取付法

本研究では上記の問題を 2 項について、計算方法、数値解の実験による検証、若干の考察について述べる。

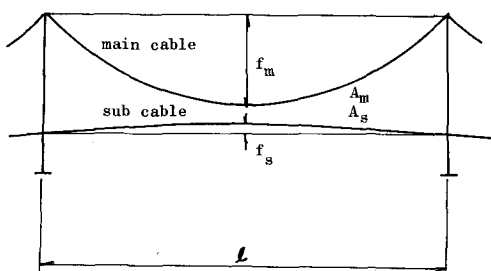


Fig.1 Side view of dual type suspension bridge

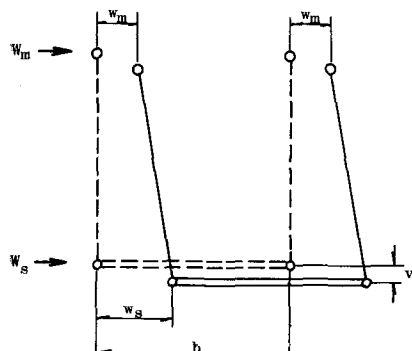


Fig.2 Lateral deflection under wind loads

2. 基礎方程式

横変位 w_m, w_s に対する鉛直変位 v が生ずるものとして基礎方程式を導出した。なお、アレス・トレス P は橋脚方向単位長さ当りのハンガーに算入される量で代表した。また鉛直変位 v の基礎式は簡単のため Vertical Hanger のものを用いた。水平方向の鉛合より

$$-(H_m + H_{pm}) w_m'' + \frac{w_s - w_m}{f} \{ (H_m + H_{pm})(y_m'' + v'') + m_m \} = W_m \quad (1)$$

$$-(H_s + H_{ps}) w_s'' - \frac{w_s - w_m}{f} \{ (H_m + H_{pm})(y_m'' + v'') + m_m \} = W_s \quad (2)$$

$\Rightarrow \kappa \cdot W_m, W_s$ 不平衡重、 $H_m = (m_m + m_s + p_s) l^2 / 8 f_m$, $H_s = p_s l^2 / 8 f_s$, m_m, m_s 積荷重
 H_{pm}, H_{ps} は $v - v'$ に対して張力を表す。Main cable は $v - v'$, Subcable は $v - v'$ が十分である。
 鉛直方向の鉛合より

$$-(H_m + H_s + H_{pm} + H_{ps}) v'' = H_{pm} y_m'' - H_{ps} y_s'' \quad (3)$$

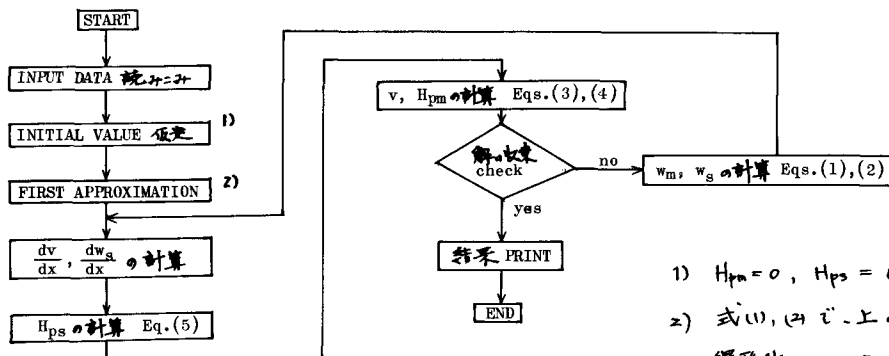
Main cable は $v - v'$ 張力に因る

$$H_{pm} = -\frac{E_a A_{cm}}{L_m} y_m'' \int_a^b v dx \quad (4)$$

Subcable の付加張力に因る

$$H_{ps} = \alpha L / L_s \cdot E A_{cs}, \quad \alpha L = \int_a^b \left(\sqrt{1 + \left(\frac{dy_s - v}{dx} \right)^2} + \left(\frac{dw_s}{dx} \right)^2 - \sqrt{1 + \left(\frac{dy_s}{dx} \right)^2} \right) dx \quad (5)$$

以上 $w_m, w_s, v, H_{pm}, H_{ps}$ は因して (1) ~ (5) 式を用いて解くことになるが、 y_s と v は $v - v'$ と Fig. 3 を示す。



- 1) $H_{pm} = 0, H_{ps} = 0, v = 0$
 2) 式 (1), (2) 上の条件を用いて線形化してこの解を第一次近似とする。

3. 数値計算によるアーチタイプ吊橋の風荷重に対する特性。

上記のフローチャートによれば、数値計算の結果より主径間 800m 程度の中級スパンの吊橋の構造特性について考察を加えた。

(1) 補剛桁の曲げ剛性がない時の、床板のみ通常吊橋と同程度の風圧を受ける場合と、通常吊橋と較べて一般に不利である。しかし補剛桁を有しない時に吊橋部の暴露出面積が縮むと風荷重が軽減されかることを考慮すると、適当なアーチトレスカーブと Subcable のライズ比の組合せによって、変位を通常の吊橋と同程度に保てることが可能である。例えば $p_r = 0.2 \text{ MN}$, $f_s = 0.01 \text{ N/mm}^2$ 程度の値を用いると主径間 800m の通常吊橋が生ずる最大たわみ $w_s = 5 \sim 6 \text{ m}^2$ と同程度の変位になる。(Fig. 4, 5)

その際デュアルタイプ吊橋では、付加的な应力はほとんど生じない。(Fig. 6)

(2) 橋たわみによつて、Subcable の付加張力を生ずる。Fig. 6 にみられるようにプレストレス量が小さい範囲で H_{ps} を無視できない程度になるが(この範囲で橋たわみは過大となり実用的でない)、 $Pr/m_d > 0.1$ の領域では Subcable の初期張力の較べ H_{ps} は充分小さく、基礎方程式より二の項を除外しても差支えない。同様斜直たわみ、Maincable の付加張力も無視でき、結局、実用範囲の吊橋の諸元に付し前出の基礎方程式(1)、(2)を解形となつて、充分な精度の近似解をみなしうる。

(3) Subcable ライズ f_s が小さくなると吊橋の橋たわみは大きくなる。(Fig. 4, 5) しかしも、隣の Subcable 断面積は Fig. 7 に示すように極端に大きくなり実用的でない。

そこで次に掲げた検討事項について、以上の橋たわみの特性だけでは結論でないが、筆者等の別の研究³⁾を合せて推論すると、施工上の問題に困難さがなければ、デュアルタイプの吊橋は 800 m ~ 1000 m 級のスパンに適用して充分結果をあげるといふ期待でさるものと思われる。

4. 模型実験

Fig. 8 に示すような諸元を有する縮尺模型について実験を行つた。プレストレスは Subcable の両端に取付けたターンバーフルを繰り返すことによつて算入した。斜直ハンガーの場合ほど均一に全スパンに渡りプレストレスを算入しきらば、斜直ハンガーに対してプレストレスを均等に算入するには非常に困難である。ハンガーと Subcable の取付金具を最初から固定しておくと、プレストレス量

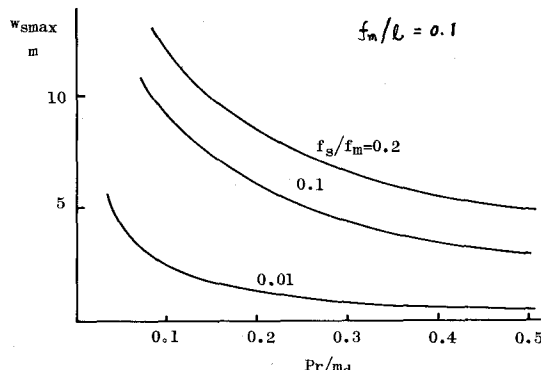


Fig. 4 $w_{smax} - Pr/m_d$

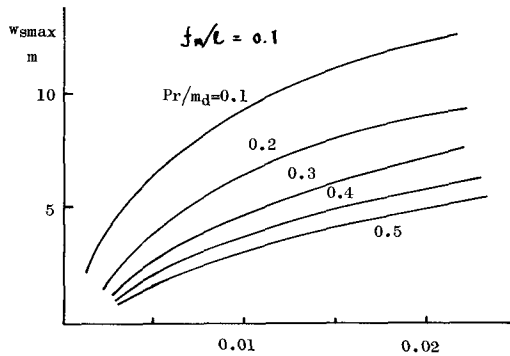


Fig. 5 $w_{smax} - f_s/l$

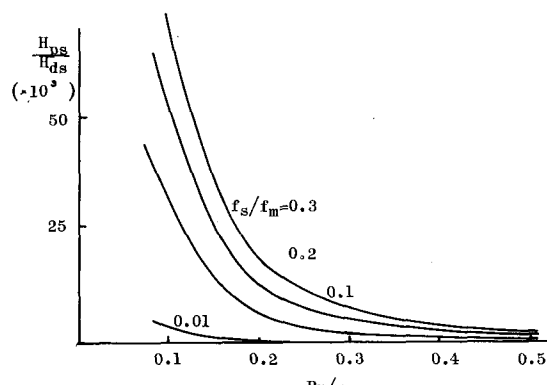


Fig. 6 $H_{ps}/H_{d's} - Pr/m_d$

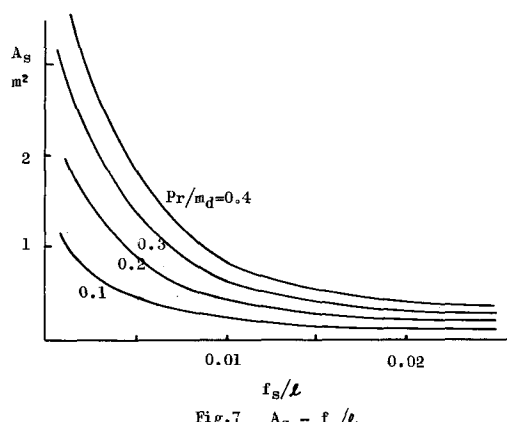


Fig. 7 $A_s - f_s/l$

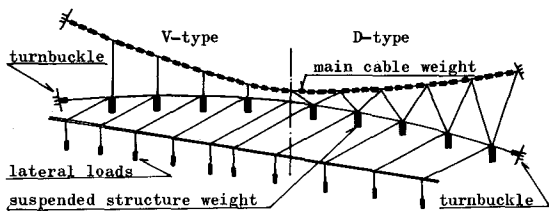


Fig.8 Test model and experimental apparatus

| Model | f_s | f_s/l | Model | f_s | f_s/l |
|-------|-------|---------|-------|-------|---------|
| V-1 | 10 cm | 0.025 | D-1 | 10 cm | 0.025 |
| V-2 | 20 cm | 0.05 | D-2 | 10 cm | 0.05 |
| V-3 | 30 cm | 0.075 | D-3 | 10 cm | 0.075 |

模型構造

$$l = 400 \text{ cm}, f_m = 40 \text{ cm}, h_m = 10 \text{ cm}, EA_m = 4.2 \times 10^4 \text{ kg}$$

$$EA_s = 1.65 \times 10^4 \text{ kg}, EA_h = 6.6 \times 10^4 \text{ kg}, m_m = 20 \text{ g/cm}, m_s = 15 \text{ g/cm}$$

$$w_s = 2.5 \text{ g/cm}$$

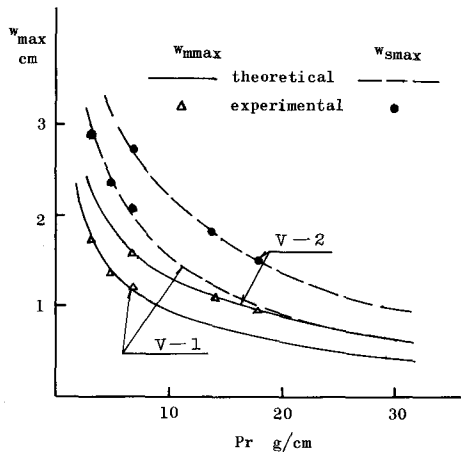


Fig.9 Relation between lateral deflection w_{\max} and prestress P_r ($w_s = 0.25 \text{ g/cm}$)

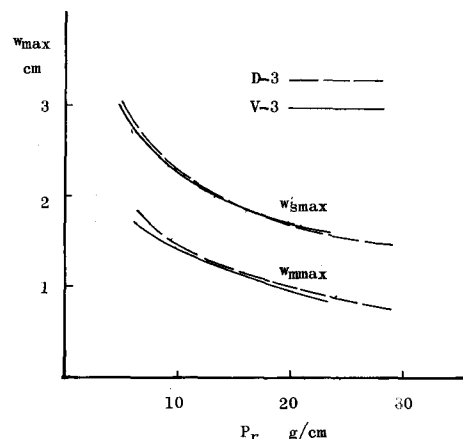


Fig.10 Comparison between two hanger arrangements

の変化につれ、導入されたハンガーがアンダーランスになり、スパン $l/4$ 及び $3l/4$ 点付近のハンガーリー部に死荷重による初期張力を越える箇所のハンガーリーが導入されてた方が生ずるようになる。そこで Subcable とハンガーの取付点でアレストレス導入につれてケーブルが導か構造として、アレストレス導入後固定すると、ほど均等なアレストレス導入が可能となった。Fig.9 は横たわみ最大値の理論と実験値を比較したものである。両者はよく一致している。又 Fig.10 によると、ハンガーが鉛直の場合と斜めの場合ではほとんど横たわみ量に変化が現われないことが確かめられた。奥橋アレストレス導入する場合はハンガーごとにターンバックルを取付けた方法、床版床組重量を利用してアレストレスする方法等が考えられる。各工法の特徴について実験的に検討中であるが、それまで一長一短があり、その中の音響特性を生かせるような組合せ工法が最宜であろうと予想している。

参考文献

- 1) 小西一郎：垂下吊橋の新しい傾向、三菱重工技報 第3巻6号、昭和41年
- 2) 兵庫県、徳島県：大鳴門橋 構造設計書
- 3) 小林 西村 長井：サバケーブルを有するアレストレス吊橋、力学特性について
昭和46年度土木学会関西支部講演会